

УДК 531.355

УПРАВЛЕНИЕ УСТОЙЧИВОСТЬЮ ЧИСЛЕННОГО  
ИНТЕГРИРОВАНИЯ УРАВНЕНИЙ СВОБОДНОГО ДВИЖЕНИЯ  
ТВЕРДОГО ТЕЛА В СОПРОТИВЛЯЮЩЕЙСЯ СРЕДЕ

КОСТРОВ А. В.

В общем случае указанное движение описывается «жесткими» уравнениями [1, 2], интегрирование которых традиционными явными методами (типа Рунге – Кутта, Адамса) оказывается неустойчивым. Применение для этого неявных или явно-неявных (предсказывающие – уточняющие) методов [3] связано с неоправданно большими затратами. Повышение устойчивости интегрирования стабилизацией погрешности вычислений (способом «двух разных шагов интегрирования» [4]) либо малоэффективно при большой жесткости системы, либо требует дополнительных преобразований [5] или дополнительных дифференциальных уравнений [6], что ведет к усложнению алгоритма и возрастанию затрат на интегрирование.

В публикуемой работе дается метод управления устойчивостью интегрирования уравнений свободного пространственного движения тела традиционными явными разностными методами по информации о суммарной (методической и инструментальной) ошибке вычисления матрицы ориентации в одном цикле расчета остальных параметров движения тела.

Основу метода составляют операции контроля ортогональности матрицы ориентации тела, ортогонализации этой матрицы и настройки в зависимости от степени неортогональности матрицы шага интегрирования без изменения формулы разностного метода интегрирования.

1. Математическая формализация задачи разработки метода может быть представлена следующим образом. Решается задача Коши

$$dy/dt = f(t, y), \quad y(t_0) = y_0, \quad t \in [t_0, t_c], \quad f \in R^n \quad (1.1)$$

где  $y$  — вектор параметров движения тела,  $f$  — вектор-функция правых частей системы уравнений,  $t$  — независимая переменная,  $y_0$  задан. Система (1.1) имеет единственное решение (если оно существует), т.е. удовлетворяет условию Липшица  $\|f(t, y_1) - f(t, y_2)\| \leq L \|y_1 - y_2\|$  для всех  $t \in [t_0, t_c]$  и всех компонент векторов  $y_1, y_2$  ( $L$  — константа Липшица). Решение задачи (1.1), представляемое в общем виде как

$$y = y(t, t_0, y_0) = y(t) \quad (1.2)$$

аппроксимируется с учетом погрешностей округлений разностным  $k$ -шаговым методом:

$$y_r^V = S_r(h) + \delta_r \quad (0 \leq r \leq k) \quad (1.3)$$

$$\sum_{i=0}^k A_i y_{n+i} = h [\Phi(t_n, y_n^V, h) + \delta_{n+k}], \quad (0 \leq n \leq n-k)$$

где  $h$  — шаг интегрирования,  $A_i$  — постоянная матрица,  $\Phi$  — заданная функция, зависящая от  $f$ ,  $\delta_r$ ,  $\delta_{n+k}$  — возмущения (при  $\delta_r = \delta_{n+k} = 0$ ,  $y_n^V = y$ ),  $y_n^V$  — приближение к  $y(t_n)$  — точному решению (1.2) в точке  $t_n$ ,  $t_n = t_0 + nh$ ,  $Nh = = t_0 - t_c$ .

Задача заключается в том, чтобы сформировать (в зависимости от соотношения величины некоторой заранее выбранной критериальной функ-

ции  $\varepsilon_n = \varepsilon(y_n^{\vee*}, C)$ ,  $C$  – векторный или матричный параметр, с ее пороговым значением  $\varepsilon_0$ ) такие управлении на  $n$ -м шаге интегрирования  $\Delta h(n)$  и  $\Delta y(n)$  соответственно для шага интегрирования  $h(n)$  и вектора  $y(n)$ , которые бы обеспечили выполнение неравенства

$$\max |y^*(t_n) - y_n^{\vee*}| \leq \| \Delta y \|_* \quad (1.4)$$

где  $\| \Delta y \|_*$  – предельное значение нормы ошибки. Векторы  $y_n^{\vee*}$ ,  $y^*(t_n)$  могут представлять собой как полнокомпонентные векторы  $y_n^{\vee}$ ,  $y(t_n)$ , так и векторы с неполным числом интегрируемых параметров движения.

2. Примем в качестве интегральной характеристики движения тела в безграничной сопротивляющейся среде суммарную кинетическую энергию тела  $T_1$  и среды  $T_2$  [7, 8]:

$$T = T_1 + T_2 \quad (2.1)$$

$$T_1 = \frac{1}{2} m v_o^2 + m v_o (\omega \times \rho) + \frac{1}{2} \omega \times I^{(o)} \omega, \quad T_2 = \frac{1}{2} \mathbf{q}^T \Lambda \mathbf{q}$$

Здесь  $m$ ,  $I^{(o)}$  – масса и тензор инерции тела в точке полюса  $O$ ,  $\rho$  – вектор центра масс тела,  $v_o$ ,  $\omega$  – векторы поступательной (полюса  $O$ ) и угловой скорости тела относительно инерциального пространства,  $\mathbf{q} = [v_o, \omega]$  – вектор обобщенной скорости,  $\Lambda = (\lambda_{ij})$  – симметричная матрица присоединенных масс среды (при  $j=1, 2, 3$  и  $i=1, 2, 3$  коэффициенты  $\lambda_{ij}$  имеют размерности массы, а при  $j=4, 5, 6$  и  $i=4, 5, 6$  – размерность моментов инерции).

Методом Эйлера – Лагранжа динамические уравнения движения тела представляются в виде

$$\frac{d}{dt} \text{grad}_{v_o} T + \omega \times \text{grad}_{v_o} T = \mathbf{F} \quad (2.2)$$

$$\frac{d}{dt} \text{grad}_{\omega} T + \omega \times \text{grad}_{\omega} T + v_o \times \text{grad}_{v_o} T = \mathbf{M}_o$$

где  $\mathbf{F}$ ,  $\mathbf{M}_o$  – главный вектор и главный момент (относительно полюса  $O$ ) внешних сил. Запись уравнений, отнесенных к полюсу, дает ряд преимуществ при описании неустановившегося движения асимметричных тел [12]. После подстановки выражения (2.1) в уравнения (2.2) получаются динамические уравнения движения тела, записанные относительно производных  $dv_o/dt$ ,  $d\omega/dt$ . Интегрирование этих уравнений в скалярной форме (в проекциях на оси связанной системы координат) дает как функции времени составляющие поступательной ( $v_{ox}$ ,  $v_{oy}$ ,  $v_{oz}$ ) и угловой ( $\omega_x$ ,  $\omega_y$ ,  $\omega_z$ ) скоростей, по которым определяется кинематика движения соответственно уравнениями поступательного и вращательного движения

$$\frac{d\mathbf{r}_o}{dt} = A^T \mathbf{v}_o, \quad \frac{dA}{dt} = -\Omega A \quad (2.3)$$

Здесь  $\mathbf{r}_o$  – вектор положения полюса тела относительно начала инерциальной системы координат (совпадающего, например, с центром планеты, относительно которой рассматривается движение),  $A^T$  – матрица ориентации тела,  $\Omega$  – кососимметрическая матрица размера  $3 \times 3$ , элементами которой являются проекции вектора  $\omega$  на оси связанной системы координат,  $t$  – символ транспонирования матрицы. Векторы  $\mathbf{F}$  и  $\mathbf{M}_o$  определяются как суммы главных векторов и главных моментов соответственно аэрогидродинамических сил, гидростатических сил и момента и гравитационных сил и момента.

Начальные условия движения тела в проекциях на оси связанной ( $s$ ) и инерциальной ( $\xi$ ) систем координат представляются соответственно в виде

$$\mathbf{v}_{os}(t_0) = \mathbf{v}_{os0} = [v_{ox0}, v_{oy0}, v_{oz0}]^T, \quad \omega_s(t_0) = \omega_{s0} = [\omega_{x0}, \omega_{y0}, \omega_{z0}]^T \quad (2.4)$$

$$\mathbf{r}_o(t_0) = \mathbf{r}_{o0} = [x_{o\xi 0}, y_{o\xi 0}, z_{o\xi 0}]^T, \quad A(t_0) = A_0 = (a_{ij})_0 \quad (i, j=1, 2, 3)$$

Наиболее неустойчиво численно интегрируется второе уравнение (2.3), представляющее собой наиболее «жесткую» совокупность скалярных уравнений в общей системе. Быстро накапливается ошибка вычисления мат-

рицы  $A$ , проявляющаяся в нарушении ортогональности этой матрицы и, как следствие, в неустойчивости расчета траектории тела. При этом выполнение условия ортогональности

$$AA^T = A^TA = E \quad (2.5)$$

для вычисленной матрицы  $Q$  (на  $n$ -м шаге интегрирования) можно требовать с точностью, характеризуемой неравенством  $|b_{ij}| \leq \varepsilon_{0ij}$  ( $i, j = 1, 2, 3$ ). Здесь  $b_{ij}$  — элемент матрицы «нечеты»  $B = QQ^T - E$ ,  $\varepsilon_{0ij}$  — элемент матрицы предельно допустимой ошибки ( $\varepsilon_{0ij} > 0$ ). В практических расчетах целесообразно принять  $\varepsilon_{0ij} = \varepsilon_0 = \text{const}$  для всех  $i$  и  $j$  ( $\varepsilon_0$  — скалярный показатель предельной неортогональности, определяется эмпирически).

Разрабатываемый метод управления устойчивостью интегрирования основывается на выполнении в процессе интегрирования контроля ортогональности матрицы  $Q$ , ее ортогонализации и коррекции шага интегрирования в зависимости от величины  $|b_{ij}|$ . Структура алгоритма метода разработана, опираясь на результаты массовых расчетов движения тела в атмосфере. Она предусматривает разбиение области возможного изменения предельного значения  $\varepsilon_0$  на ряд подобластей, каждой из которых соответствует свое управление.

Управление 1: если для всех  $i, j$  ( $i, j$  — соответственно номер строки и номер столбца матрицы  $Q$ ) выполняется условие  $|b_{ij}| = |QQ^T - E|_{ij} < 10^{-2} \varepsilon_0$ , то шаг интегрирования увеличивается в  $m$  раз (в частности удваивается); а матрица  $Q$  не изменяется (используется ее вычисленное значение); управление 2: если выполняется условие  $10^{-2} \varepsilon_0 \leq |b_{ij}| < \varepsilon_0$ , то матрица  $Q$  не изменяется и интегрирование продолжается с прежним шагом; управление 3: если выполняется условие  $\varepsilon_0 \leq |b_{ij}| < 10^2 \varepsilon_0$ , то матрица  $Q$  ортогонализируется и интегрирование продолжается с прежним шагом; управление 4: если выполняется условие  $|b_{ij}| > 10^2 \varepsilon_0$ , то результат интегрирования исключается и выполняется возврат к результатам расчета на предыдущем шаге, затем продолжается интегрирование с уменьшенным в  $m$  раз шагом (в частности с половинным шагом).

Ортогонализация матрицы  $Q$  при формировании управления 3 выполняется по формуле

$$A^{(n)} = A^{(n-1)-1/2} (A^{(n-1)} A^{(0)T} A^{(n-1)} - A^{(0)}) \quad (2.6)$$

в которой за нулевое приближение матрицы  $A^{(0)}$  принимается вычисленная матрица  $Q$ . Итерационные циклы по формуле (2.6) продолжаются до выполнения условия  $\|A^{(n)} A^{(n)T} - E\|_{ij} \leq \varepsilon_0$ .

Формула (2.6) получается в результате решения задачи нахождения ортогональной матрицы, ближайшей к матрице  $Q$ . Эта задача формулируется так: дана матрица  $Q$  и критерий качества ортогонализации  $J(A) = \|A - Q\|_F^2$ . Требуется найти такую матрицу  $A$ , которая удовлетворяла бы условию  $J(A) = \min J(A; Q)$ , с учетом ограничивающего равенства (2.5).

Решение этой задачи может быть получено, опираясь на идею метода спуска. Для принятого критерия, представляющего собой квадрат евклидовой нормы, справедливо соотношение [9]:  $J(A) = \text{Sp}[(A - Q)(A - Q)^T]$  ( $\text{Sp}$  — символ следа матрицы). На основе дискретного представления движения к экстремуму критерия результат ортогонализации через один шаг спуска представляется как

$$A_t = A_0 + \theta \Gamma \quad (2.7)$$

где  $A_0$  — исходное значение матрицы,  $\theta$  — скалярная величина,  $\Gamma$  — «градиентная» матрица. Теперь можно записать значение критерия через один шаг спуска в виде  $J' = \text{Sp}\{[A - (A_0 + \theta \Gamma)][A - (A_0 + \theta \Gamma)]^T\}$ .

Матрица  $\Gamma$  определяется из условия стационарного поведения величины  $J'$  в зависимости от матрицы  $A_0$ , т. е. из уравнения

$$\partial J'/\partial \theta|_{\theta=0} = 2\text{Sp}[(A_0^T - A^T)\Gamma] = 0 \quad (2.8)$$

при наличии ограничения (2.5), которое представляется в виде двух ограничений. Для  $n$ -го шага перехода от матрицы  $A_{n-1}$  к матрице  $A_n$  исходное ограничение (2.5) можно записать как  $\Psi_n = A_n^T A_n - E = 0$ . Подставив в это выражение матрицу  $A_1$ , продифференцировав полученное соотношение по параметру  $\theta$ , получим первое искомое ограничение:

$$\partial \Psi_n / \partial \theta |_{\theta=0} = A_0^T \Gamma + \Gamma^T A_0 = 0 \quad (2.9)$$

Другое ограничение получается следующим образом. Для матрицы  $\Gamma$  справедливы соотношения  $\theta^2 = \|\theta \Gamma\|_E^2 = \theta^2 \|\Gamma\|_E^2$ , но  $\|\Gamma\|_E^2 = \text{Sp}(\Gamma^T \Gamma)$ . Поэтому  $\theta^2 [1 - \text{Sp}(\Gamma^T \Gamma)] = 0$ . Поскольку по условию  $\theta \neq 0$ , то справедливо равенство

$$1 - \text{Sp}(\Gamma^T \Gamma) = 0 \quad (2.10)$$

представляющее собой второе ограничение.

Таким образом, для определения стационарного значения можно записать функцию Лагранжа в виде

$$L^*(\Gamma) = 2\text{Sp}[(A_0 - A^T) \Gamma] + l[1 - \text{Sp}(\Gamma^T \Gamma)] + \text{Sp}[L(A_0^T \Gamma + \Gamma A_0)] \quad (2.11)$$

где  $l$ ,  $L$  – неопределенные скалярный и матричный множители (матрица  $L$  симметрична). Матрица  $\Gamma$  действительная. Декомпозирем эту матрицу как [9]:  $\Gamma = \Gamma_0 + \kappa H$ , где  $H$  – произвольная действительная матрица,  $\kappa$  – некоторый параметр,  $\Gamma_0$  – матрица, в окрестности которой функция (2.11) изменяется с минимальной скоростью при движении вдоль градиентного направления. Подставив эту матрицу в функцию (2.11) и продифференцировав затем последнюю по параметру  $\kappa$ , запишем ( $H$  – произвольная действительная матрица):

$$\text{Sp}\{(L+E)A_0^T - A^T - l\Gamma_0^T\}^T H = 0 \quad (2.12)$$

Поэтому

$$\Gamma_0 = [A_0(L+E) - A]/l \quad (2.13)$$

Матрица (2.13) удовлетворяет условию (2.9). Следовательно, после подстановки (2.13) в (2.9) с учетом симметричности матрицы  $L+E = \frac{1}{2}(A_0^T A + A^T A_0)$  отыскивается матрица  $\Gamma_0$  в форме

$$\Gamma_0 = \frac{1}{2}(A_0 A^T A_0 - A)/l \quad (2.14)$$

Достаточное условие минимума функции  $L^*(\Gamma)$  определяется неравенством  $\partial^2 L^*/\partial \kappa^2 > 0$  при  $\kappa = 0$ . Можно показать, что при  $l < 0$  действительно  $\partial^2 L^*/\partial \kappa^2 > 0$  (т. е. при значении  $\Gamma_0$  функция  $L^*(\Gamma)$  имеет минимум). Подставляя матрицу (2.14) в выражение (2.7), получаем

$$A_1 = A_0 - \tau(A_0 A^T A_0 - A) \quad (2.15)$$

где  $\tau = \frac{1}{2}\theta/l$  – шаг итерационной градиентной процедуры. Конкретное значение этого шага можно найти путем решения задачи оптимизации, в которой необходимо задать функцию потерь для  $(n+1)$ -го шага итерации. Например квадратичная функция потерь (квадрат евклидовой нормы  $\|A - A^{(n+1)}\|_E^2$ ) минимизируется при  $\tau = \frac{1}{2}$ . Приняв  $\tau = \frac{1}{2}$  и заменив в формуле (2.15) на основе принципа индукции матрицу  $A_1$  на матрицу  $A^{(n)}$ , а матрицу  $A_0$  на матрицу  $A^{(n-1)}$ , получим формулу (2.6).

Свойство сходимости алгоритма в данном случае можно определить выражением  $\max |A^{(n)} A^{(n)T} - E|_{ij}$  при  $n \rightarrow \infty$ . Сходимость процесса для матрицы  $Q$  зависит от того, насколько «сильно» отличается матрица  $A^{(0)} = Q$  от ближайшей ортогональной, т. е. насколько велика норма  $(\sum (Q_{ij} - E_{ij})^2)^{\frac{1}{2}}$ . Минимальное значение этой нормы, при которой процесс ортогонализации еще сходится, определяет границу области сходимости.

Справедливо мультипликативное представление квадратной матрицы в виде [9]:  $Q = M\Pi = (QQ^T)^{\frac{1}{2}}\Pi$ , где  $M = (QQ^T)^{\frac{1}{2}}$  – левый модуль матрицы  $Q$ ,  $\Pi$  – ортогональная матрица. Матрица  $M$  представляется как  $M = TN^{(0)}T^T$ . Здесь  $T$  – матрица, составленная из собственных векторов столбцов мат-

рицы  $M$ . Таким образом, имеем  $A^{(n)} = (TN^{(n)}T^T)\Pi$ . Необходимым и достаточным условием сходимости матрицы  $A^{(n)}$  к матрице  $\Pi$  является условие  $\lim N^{(n)} = E$  при  $n \rightarrow \infty$ , или в скалярной форме — условий  $\lim N_{ij}^{(n)} = 1$  ( $i = j$ ). Алгоритму (2.6) соответствует составленная для элементов собственных векторов система уравнений  $n_j^{(n)} = n_j^{(n-1)} - 1/2n_j^{(0)}(n_j^{(n-1)^2} - 1)$ . Записанное выше предельное условие выполняется, если выполняется неравенство  $n_j^{(0)} < 2$ .

Таким образом, чтобы проверить принадлежность вычисленной матрицы  $Q$  области сходимости, надо вычислить собственные значения матрицы  $M = (QQ^T)^{1/2}$  и проверить выполнение условий  $n_j < 2$ . В принципе эту операцию необходимо выполнять на каждом шаге ортогонализации. Это, конечно, снижает экономичность алгоритма. Однако, как показывают расчеты движения тела в атмосфере на ЭВМ типа БЭСМ-6 и ЕС методом Рунге — Кутта четвертого порядка, вычисленная матрица  $Q$  находится в области сходимости (если, конечно, начальный шаг интегрирования не будет выбран чрезмерно большим). По-видимому, этот вывод можно распространить и на случай решения рассматриваемой задачи с использованием других явных методов интегрирования.

3. С использованием разработанного метода воспроизведено методом Рунге — Кутта четвертого порядка множество случаев спуска тела в плотных слоях атмосферы Земли. Главная цель при этом состояла в определении (для заданной области изменения начальных условий движения, массово-инерционных и геометрических характеристик тела) скалярного показателя  $\varepsilon_0$  предельной неортогональности матрицы  $Q$  и в оценке времени, затрачиваемого на интегрирование в сравнении со случаем интегрирования с постоянным шагом, при котором получается устойчивое решение поставленной задачи.

Интегрировались уравнения аэробаллистики при следующих допущениях: присоединенные массы и гидростатические силы пренебрежимо малы, гравитационное поле Земли — центральное, атмосфера — стандартная, тело в номинальном состоянии — осесимметричное (ось симметрии совпадает с осью  $X$  связанной системы координат, в качестве полюса принят номинальный центр масс). В возмущенном состоянии тело является асимметричным, имеющим смещение центра масс с осью симметрии и отклонение главных осей инерции относительно осей инерции осесимметричного тела, а также искажения формы тела вращения. Движение асимметричного тела описывается системой уравнений [12] ( $\pi_0 = 3,981277 \cdot 10^{14} \text{ м}^3/\text{s}^2$ ):

$$\begin{aligned} dv_o/dt &= (1/m) F - \Omega v_o - \Omega^2 \rho + P(I^{(0)} + mP^2)^{-1}(M_o - PF - \Omega I^{(0)}\omega + mP\Omega^2\rho) \\ d\omega/dt &= (I^{(0)} + mP^2)^{-1}(M_o - PF - \Omega I^{(0)}\omega + mP\Omega^2\rho) \\ d\mathbf{r}_o/dt &= A^T v_o, \quad dA/dt = -\Omega A \end{aligned} \quad (3.1)$$

$$\mathbf{v}_o = [v_{ox}, v_{oy}, v_{oz}]^T, \quad \boldsymbol{\omega} = [\omega_x, \omega_y, \omega_z]^T, \quad \mathbf{r}_o = [x_{o\xi}, y_{o\xi}, z_{o\xi}]^T$$

$$A = \begin{vmatrix} a_{11} & a_{12} & a_{13} \\ a_{21} & a_{22} & a_{23} \\ a_{31} & a_{32} & a_{33} \end{vmatrix}, \quad \Omega = \begin{vmatrix} 0 & -\omega_z & \omega_y \\ \omega_z & 0 & -\omega_x \\ -\omega_y & \omega_x & 0 \end{vmatrix}$$

$$I^{(0)} = \begin{vmatrix} I_x^{(0)} & -I_{xy}^{(0)} & -I_{xz}^{(0)} \\ -I_{yx}^{(0)} & I_y^{(0)} & -I_{yz}^{(0)} \\ -I_{zx}^{(0)} & -I_{zy}^{(0)} & I_z^{(0)} \end{vmatrix}, \quad P = \begin{vmatrix} 0 & -\rho_z & \rho_y \\ \rho_z & 0 & -\rho_x \\ -\rho_y & \rho_x & 0 \end{vmatrix}, \quad F = \begin{vmatrix} F_x \\ F_y \\ F_z \end{vmatrix} = \begin{vmatrix} R_x + G_x \\ R_y + G_y \\ R_z + G_z \end{vmatrix}$$

$$M_0 = \begin{vmatrix} M_{Ox} \\ M_{Oy} \\ M_{Oz} \end{vmatrix} + \begin{vmatrix} M_{Ox}^R \\ M_{Oy}^R \\ M_{Oz}^R \end{vmatrix}, \quad \begin{vmatrix} G_x \\ G_y \\ G_z \end{vmatrix} = A \begin{vmatrix} G_{x\xi} \\ G_{y\xi} \\ G_{z\xi} \end{vmatrix} = -A \left\{ m \frac{\pi_0}{r_0^3} \begin{vmatrix} x_{O\xi} \\ y_{O\xi} \\ z_{O\xi} \end{vmatrix} \right\}$$

$$r_o = \sqrt{x_{o\ddot{\varepsilon}}^2 + y_{o\ddot{\varepsilon}}^2 + z_{o\ddot{\varepsilon}}^2}, \rho = \| \rho_x, \rho_y, \rho_z \|^T$$

Характерная длина рассматриваемого тела  $L_x$  на несколько порядков меньше величины  $r_o$ . Поэтому гравитационный момент равен нулю. Составляющие аэродинамических силы  $R_x, R_y, R_z$  и момента  $M_{ox}^R, M_{oy}^R, M_{oz}^R$  рассчитываются по формулам [12]. Их коэффициенты определяются как функции числа Маха  $M$ , угла атаки  $\alpha_\pi$  и аэродинамического крена  $\phi$ :

$$\begin{aligned} c_x &= c_x(M, \alpha_\pi), c_y = c_n(M, \alpha_\pi) \cos \phi \\ c_z &= -c_n(M, \alpha_\pi) \sin \phi, m_{ox} = \Delta m_{ox} \\ m_{oy} &= (c_d - c_m) c_z - m_{oy}^{\omega_y} (M, \alpha_\pi) \omega_y^\vee + \Delta m_{oy} \\ m_{oz} &= -(c_d - c_m) c_y - m_{oz}^{\omega_z} (M, \alpha_\pi) \omega_z^\vee + \Delta m_{oz} \end{aligned} \quad (3.2)$$

Здесь  $c_x(M, \alpha_\pi), c_n(M, \alpha_\pi), m_{oy}^{\omega_y}(M, \alpha_\pi) = m_{oz}^{\omega_z}(M, \alpha_\pi) = m_o^{\omega}(M, \alpha_\pi)$  — соответственно коэффициенты продольной и поперечной сил, момента демпфирования и безразмерная координата центра давления ( $c_d = x_d L_x$ ,

$M$	$\alpha_\pi = 0^\circ$	$15^\circ$	$30^\circ$	$45^\circ$	$60^\circ$	$75^\circ$	$90^\circ$	$105^\circ$	$120^\circ$	$135^\circ$	$150^\circ$	$165^\circ$	$180^\circ$
6	0,17	0,26	0,37	0,46	0,54	0,53	0,41	0,16	-0,27	-0,79	-1,25	-1,55	-1,70
10	0,15	0,19	0,28	0,37	0,43	0,45	0,39	0,17	-0,26	-0,77	-1,25	-1,55	-1,70
25	0,14	0,18	0,28	0,37	0,43	0,45	0,39	0,17	-0,26	-0,77	-1,25	-1,55	-1,70
6	0	0,48	1,06	1,62	2,11	2,35	2,27	1,94	1,37	0,81	0,30	0,05	0
10	0	0,48	1,06	1,75	2,30	2,55	2,45	2,12	1,55	0,82	0,30	0,05	0
25	0	0,48	1,06	1,75	2,30	2,55	2,45	2,12	1,55	0,82	0,30	0,05	0
6	0,19	0,20	0,28	0,34	0,39	0,45	0,39	0,33	0,31	0,24	0,15	0,06	0,04
10	0,16	0,17	0,25	0,32	0,36	0,37	0,38	0,32	0,29	0,23	0,14	0,05	0,03
25	0,16	0,17	0,25	0,32	0,36	0,37	0,38	0,32	0,29	0,23	0,14	0,05	0,03
6	0,65	0,65	0,65	0,65	0,60	0,65	0,64	0,63	0,65	0,61	0,60	0,62	0,61
10	0,65	0,65	0,65	0,65	0,60	0,65	0,64	0,63	0,65	0,61	0,60	0,62	0,61
25	0,65	0,65	0,65	0,65	0,60	0,65	0,64	0,63	0,65	0,61	0,60	0,62	0,61

отсчитывается от носка тела) для симметричного относительно продольной оси тела,  $\omega_{y,z} = \omega_{y,z} L_x / v_o$  — безразмерная угловая скорость тела.

Значения этих коэффициентов, полученные по формулам теории Ньютона неупругого удара [10, 12] для выбранной формы тела, приведены в таблице, где первая группа данных соответственно для чисел  $M=6, 10, 25$  и углов атаки  $\alpha_\pi=0, 15^\circ, \dots, 165^\circ, 180^\circ$  определяют коэффициент  $c_x(M, \alpha_\pi)$ , вторая — коэффициент  $c_n(M, \alpha_\pi)$ , третья — коэффициент  $m_o^{\omega}(M, \alpha_\pi)$ , четвертая — коэффициент  $c_d(M, \alpha_\pi)$ . Расчет коэффициентов в процессе интегрирования по данным таблицы ведется способом линейной интерполяции. Слагаемые  $\Delta m_{ox}, \Delta m_{oy}, \Delta m_{oz}$  — постоянные при движении вдоль конкретной траектории добавки к коэффициентам осесимметричного тела, обусловленные асимметриями формы тела. Для коэффициентов сил подобные добавки пренебрежимо малы. Член  $c_m = x_m / L_x$  — безразмерная постоянная координата центра масс тела, отсчитываемая от носка тела.

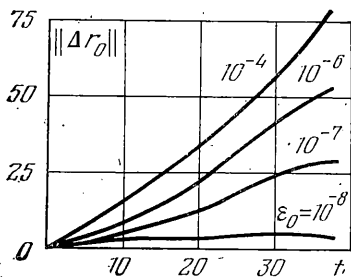
При расчетах вводится понятие невозмущенного (номинального) движения. Приняты следующие номинальные массово-инерционные и геометрические характеристики тела:  $m=500$  кг,  $I_x^{(0)}=10$  кг·м<sup>2</sup>,  $I_y^{(0)}=I_z^{(0)}=I^{(0)}=100$  кг·м<sup>2</sup>,  $S_m=0,5$  м<sup>2</sup>,  $L_x=2$  м,  $x_m=1$  м, представляющие собой соответственно массу, моменты инерции,

характерные площадь и длину, а также координату центра масс тела. Возмущения указанных характеристик задаются путем формирования массово-инерционных асимметрий и асимметрий формы (аэродинамических асимметрий) в пределах:

$$|\rho_x/L_x| \leq 2 \cdot 10^{-2}, \quad |\rho_y/L_x| \leq 1,5 \cdot 10^{-3}, \quad |\rho_z/L_x| \leq 1,5 \cdot 10^{-3}, \\ \varphi_x = \text{const} = 0, \quad |\varphi_y| \leq 1^\circ, \quad |\varphi_z| \leq 1^\circ, \quad |\Delta I^{(o)}/I^{(o)}| \leq 0,01,$$

$$(\varphi_x = I_{yz}^{(o)} / (I_z^{(o)} - I_y^{(o)}), \quad \varphi_y = I_{xz}^{(o)} / (I_x^{(o)} - I_z^{(o)}),$$

$$\varphi_z = I_{xy}^{(o)} / (I_y^{(o)} - I_x^{(o)})), \quad |\Delta m_{ox}| \leq 10^{-4}, \quad |\Delta m_{oy}| \leq 10^{-3}, \quad |\Delta m_{oz}| \leq 10^{-3}.$$



Начальные условия движения задаются на высоте  $H(t_0=0)=10^5$  м над поверхностью Земли и изменяются в широких пределах. Не изменяются лишь начальные координаты (для всех координат принимаются значения  $x_{0\ddot{\xi}}=z_{0\ddot{\xi}}=0$ ,  $y_{0\ddot{\xi}}=10^5$  м).

Показатель  $\varepsilon_0$  был установлен с использованием критериальной функции

$$\|\Delta r_0(t, \varepsilon_0)\| = \{\{x_{0\ddot{\xi}}(t, \varepsilon_0) - x_{0\ddot{\xi}}(t)\}^2 + \{y_{0\ddot{\xi}}(t, \varepsilon_0) - y_{0\ddot{\xi}}(t)\}^2 + \{z_{0\ddot{\xi}}(t, \varepsilon_0) - z_{0\ddot{\xi}}(t)\}^2\}^{1/2} \quad (3.3)$$

в которой  $x_{0\ddot{\xi}}(t)$ ,  $y_{0\ddot{\xi}}(t)$ ,  $z_{0\ddot{\xi}}(t)$  — координаты полюса при движении тела вдоль невозмущенной траектории, воспроизведенной с постоянным (достаточно малым) шагом интегрирования;  $x_{0\ddot{\xi}}(t, \varepsilon_0)$ ,  $y_{0\ddot{\xi}}(t, \varepsilon_0)$ ,  $z_{0\ddot{\xi}}(t, \varepsilon_0)$  — координаты полюса при движении тела вдоль возмущенной траектории (воспроизведенной с использованием разработанного метода управления устойчивостью интегрирования). Невозмущенные траектории получаются двойным интегрированием с постоянным шагом, соответственно равным  $h$  и  $2h$ . При этом оцениваются методическая и инструментальная (округления) ошибки в конечной точке движения тела соответственно по формулам [11]:

$$\Delta_{m,j} = [x_j(h) - x_j(2h)] / (2^p - 1), \quad k = \lg 0,1124 n^{1/p} \quad (3.4)$$

где  $p$  — порядок метода интегрирования,  $k$  — число потерянных десятичных разрядов при округлении результата,  $n$  — число шагов интегрирования. За эталонную невозмущенную траекторию принимается такая, для которой суммарная вычислительная ошибка не превышает нескольких метров по координатам и порядка одного метра в секунду по составляющим поступательной скорости в конечной точке движения.

Расчеты велись на ЭВМ ЕС 1050. Начальный шаг интегрирования с использованием разработанного метода принимался для различных вариантов разным по величине, ограниченной снизу значением 0,05 с. Величина  $\varepsilon_0$  считалась допустимой, если норма (3.3) по мере движения тела имела нерасходящийся характер и не превышала величины суммарной вычислительной ошибки определения эталонной траектории.

На фигуре показан характер изохронного изменения нормы (3.3) в зависимости от времени движения тела и задаваемого показателя  $\varepsilon_0$  для случаев движения, сопровождающихся вращательными резонансами. Если граници  $\varepsilon_1 = 10^2 \varepsilon_0$  и  $\varepsilon_2 = 10^{-2} \varepsilon_0$  принимаются без учета порядка метода интегрирования, то может иметь место потеря устойчивости (при меньших  $\varepsilon_0$  обнаруживаются большие значения нормы (3.3)). Если граници  $\varepsilon_1$ ,  $\varepsilon_2$  принимаются зависящими от порядка метода интегрирования, например как функция  $\varepsilon_1 = 2^{p+1} \varepsilon_0$  и  $\varepsilon_2 = 2^{-(p+1)}$ , то неустойчивость устраивается. Установлено, что граница области устойчивости интегрирования уравнений (3.1) методом Рунге — Кutta четвертого порядка для воспроизведенного множества движений определяется значением  $\varepsilon_0 = 10^{-8}$ . При этом сокращаются временные затраты в 2–3 раза по сравнению с интегрированием при постоянном шаге.

## ЛИТЕРАТУРА

1. Modern Numerical Methods for Ordinary Differential Equations/Ed. by G. Hall and J. M. Watt. Oxford: Clarendon Press, 1976. 336 p.—Рус. перев.: Механика. Сб. перев. иностр. статей. М.: Мир, 1979. 312 с.
2. Ракитский Ю. В., Устинов С. М., Черноруцкий И. Г. Численные методы решения жестких систем. М.: Наука, 1979. 208 с.
3. Kerczek C., Davis S. H. Calculation of transition matrices.—AIAA Journal, 1975, v. 13, No. 10, p. 1400–1403.
4. Боданский Е. Д., Фурман В. Д. О погрешностях численного интегрирования кинематических уравнений Пуассона.—Космич. исследования, 1970, т. 8, вып. 6, с. 944–948.

5. Ткаченко А. И. Погрешности вычисления параметров Родрига – Гамильтона.– Изв. АН СССР. МТТ, 1973, № 1, с. 32–37.
6. Скиба Г. Г. Метод расчета элементов матрицы направляющих косинусов при численном решении задач пространственного движения тел в атмосфере.– Изв. АН СССР. МТТ, 1980, № 6, с. 55–57.
7. Лурье А. И. Аналитическая механика.. М.: Физматгиз, 1961. 824 с.
8. Лойцянский Л. Г. Механика жидкости и газа. М.: Наука, 1970. 904 с.
9. Гантмахер Ф. Р. Теория матриц. М.: Наука, 1966. 576 с.
10. Артонкин В. Г., Леутин П. Г., Петров К. П., Столяров Е. П. Аэродинамические характеристики острых и притупленных конусов при дозвуковых и сверхзвуковых скоростях.– Тр. ЦАГИ, 1972; вып. 1413. 93 с.
11. Горбатенко С. А., Макашов Э. М., Полушкин Ю. Ф., Шефтель Л. В. Расчет и анализ движения летательных аппаратов. М.: Машиностроение, 1971. 352 с.
12. Костров А. В. Движение асимметричных баллистических аппаратов. М.: Машиностроение, 1984. 271 с.

Москва

Поступила в редакцию  
10.XI.1984